

Таким образом, использование толстых пленок ЖИГ в условиях тройного дипольно-обменно-акустического взаимодействия позволяет возбуждать гиперзвуковые колебания с высокой эффективностью.

Список литературы

- [1] Казаков Г.Т., Тихонов В.В., Зильберман П.Е. // ФТТ. 1983. Т. 25. № 8. С. 2307-2312.
- [2] Андреев А.С., Гуляев Ю.В., Зильберман П.Е., Кравченко В.В., Огрик Ю.Ф., Темирязев А.Г., Филимонова Л.М. // Письма в ЖТФ. 1984. Т. 10. В. 2. С. 90-94.
- [3] Olson F. // Journ. Appl. Phys. 1963. V. 34. N 4. P. 1281-1283.
- [4] Калиникос Б.А., Kovshikov Н.Г., Надеев М.М. Всес. конф. по физике магн. явлений. Тезисы докладов, Тула, 1983, с. 206.
- [5] Зильберман П.Е., Козлов В.И., Помялов А.В. // ФТТ. 1986. Т. 28. № 2. С. 352-357.

Институт радиотехники
и электроники АН СССР,
Москва

Поступило в Редакцию
24 января 1989 г.

Письма в ЖТФ, том 15, вып. 7
02; 07

12 апреля 1989 г.

ИОНИЗАЦИОННЫЕ ПОТЕРИ ЭНЕРГИИ ПРИ РАСПРОСТРАНЕНИИ В ГАЗАХ ЛАЗЕРНОГО ИЗЛУЧЕНИЯ С ДЛИНОЙ ВОЛНЫ 266.1 НМ

Ю.В. Анищенко

С появлением мощных источников УФ излучения диапазона $\sim 200\text{--}400$ нм таких, например, как эксимерные лазеры, возникает естественный вопрос: каково нелинейное ослабление при распространении такого излучения в атмосфере и газах?

В работе [1] исследовалась ионизация газов лазерным излучением с длиной волны 266.1 нм, $\hbar\omega = 4.66$ эВ. Было обнаружено, что при давлении порядка атмосферного выход свободных электронов пропорционален плотности мощности I в степени k по крайней мере в диапазоне $10^4\text{--}10^7$ Вт/см², причем k с высокой точностью равно отношению потенциала ионизации к энергии кванта, $k = \frac{I}{\hbar\omega}$. Дальнейшие исследования показали, что в многокомпонентных газах, таких как воздух, k равно частному от деления I на $\hbar\omega$ той макроскопической составляющей, для которой I наименьшее.

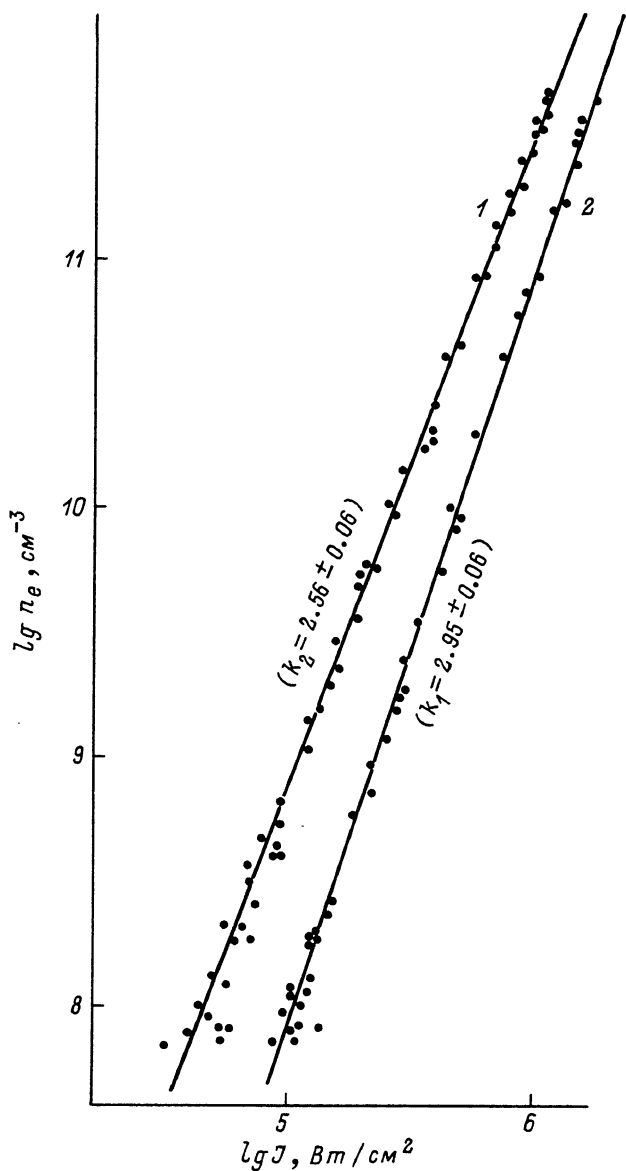


Рис. 1. Зависимость плотности электронов от плотности мощности в сухом воздухе и в смеси He , N_2 и CO_2 . В скобках $k = \frac{\partial \lg n_e}{\partial \lg J}$.

На рис. 1 приведены данные измерения $n_e(J)$ в сухом воздухе и в газе, составленном из He, N_2 и CO_2 в пропорции 1:1:1, графики 1 и 2, масштаб логарифмический. Тангенсы наклона прямых $k_1 = 2.56 \pm 0.06$ и $k_2 = 2.95 \pm 0.06$ и в пределах ошибки совпадают с $\frac{I}{\hbar\omega}$: 2.59 для O_2 и 2.95 для CO_2 . Результаты измерений можно обобщить выражением:

$$n_e = C J^k, \quad (1)$$

где $k = \frac{I_{min}}{\hbar\omega}$, $j = \frac{J}{J_n}$, J_n – нормирующая плотность мощности, C ($cm^{-3} s^{-1}$) – характерная для данного газа величина. В дальнейшем индекс „min“ мы будем опускать.

На рис. 2 представлены результаты измерений $n_e(\frac{N}{N_0})$, т.е. плотности электронов от концентрации молекул воздуха в относительных единицах, $N_0 = 2.8 \cdot 10^{19} cm^{-3}$, при двух значениях плотности мощности 0.28 и 0.4 МВт/см². С растет с уменьшением N . Экспериментальные кривые хорошо аппроксимируются уравнением:

$$n_e = 2.5 \cdot 10^{11} j^{2.6} \left[1 + 0.76 \exp(-3.1 \frac{N}{N_0}) \right]. \quad (2)$$

Здесь $J_n = 1$ МВт/см².

Измерения проводились на установке, достаточно подробно описанной в работе [1]. Использовалась четвертая гармоника лазера на алюминиево-иттриевом гранате, активированном Nd^{3+} . Ионизация измерялась в ионизационной камере, присоединенной к зарядочувствительному усилителю. Электрический импульс формировался в результате ионизации наполняющего камеру газа пучком УФ излучения и кинетических процессов в образующейся плазме, находящейся в электростатическом поле 5 кВ/см. Дрейфуя к аноду, электроны могут теряться за счет рекомбинации и прилипания к молекулам. Однако в условиях эксперимента „утечкой“ электронов можно пренебречь. Действительно, длительность импульса УФ излучения $t_\gamma = 17$ нс, а время дрейфа ≤ 30 нс, тогда как характерные времена процессов прилипания τ_a и рекомбинации τ_b были > 100 нс; в нулевом поле в воздухе при нормальных условиях $\tau_a = 45$ нс, $\tau_b = 200$ нс, а в поле 5 кВ/см процессы замедляются в несколько раз [2]. На этом основании в хорошем приближении

$$\frac{dn_e}{dt} = C' j^k - \theta(t), \quad (3)$$

где первый член правой части – интенсивность ионизации, а второй характеризует малую утечку электронов. Пренебрегая $\theta(t)$, интегрируя (3), найдем

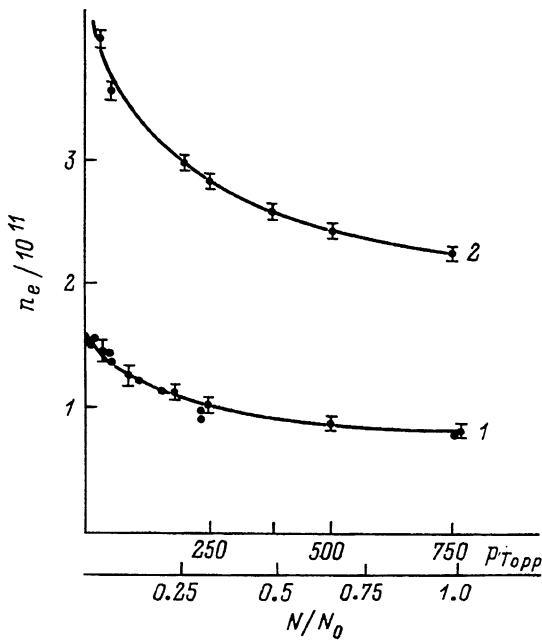


Рис. 2. Зависимость плотности электронов от молекулярной концентрации сухого воздуха в относительных единицах, $N_0 = 2.8 \times 10^{19} \text{ см}^{-3}$, 1 - $J_n = 0.28 \text{ МВт/см}^2$, 2 - $J_n = 0.4 \text{ МВт/см}^2$.

$$n_e = C' t_z j^k, \quad (4)$$

где t_z - эффективная длительность импульса УФ излучения.

Из сравнения выражений (2), (4) следует: $C' = \frac{C}{t_z}$. Поэтому в воздухе $C = 1.5 \cdot 10^{19} \text{ см}^{-3} \text{ с}^{-1}$.

Распространяясь в газе, пучок УФ излучения будет испытывать нелинейное ослабление плотности мощности за счет ионизационных потерь. Удельные ионизационные потери определяются уравнением

$$\frac{dj}{dx} = -C' j^k \frac{\beta I}{J_n}, \quad (5)$$

где β - величина, показывающая, во сколько раз для образования одной пары ионов в среднем требуется большая энергия, чем потенциал ионизации I . Интегрируя (5), выразим плотность мощности на расстоянии x через x_h - расстояние, на котором теряется половина начальной плотности мощности J_0 .

$$j(x) = \frac{J_0}{[1 + (2^{k-1} - 1) \frac{x}{x_h}]^{\frac{1}{k-1}}}, \quad (6)$$

k , как и прежде - $I/\hbar\omega$.

Выражение для длины половинного поглощения имеет вид

$$x_h = \frac{1}{C' j^{k-1}} \frac{(2^{k-1} - 1)}{\beta k (k-1)} \frac{In}{\hbar \omega}. \quad (7)$$

Подставляя числовые значения в выражения (7) и (6), получим:

$$x_h = \frac{1}{3 j_0^{k-1}} \text{ км}, \quad (8)$$

$$j(x) = j_0 \left(1 + 2 \frac{x}{x_h}\right)^{-0.63}. \quad (9)$$

Как и следовало ожидать, x_h , $j(x)$ не зависят от длительности импульса излучения. Концентрация электронов, напротив, прямо пропорциональна t_L :

$$n_e = 1.5 \cdot 10^{19} t_L j^{2.6} \text{ см}^{-3}. \quad (10)$$

Формула (10) справедлива постольку, поскольку $t_L \ll \tau$, где τ — среднее время жизни свободных электронов в среде.

С помощью пучков УФ излучения диапазона $\sim 200 \dots 400$ нм, располагая умеренной плотностью мощности, можно формировать плазменные образования с заданными параметрами и, что не менее важно, определеной формы. Многоквантовая каскадная ионизация отразится на качественных и количественных характеристиках спектральных исследований с применением фотолюминисценции, стимулированной оптическим излучением указанного диапазона. Использование этого эффекта в спектроскопии открывает новые, еще не исследованные возможности. Нелинейные ионизационные потери необходимо учитывать при распространении УФ излучения в воздухе и других газах.

Искренне благодарю Б.Г. Горшкова, В.П. Кутахова, В.М. Сидорина и С.Н. Степаненко за многочисленные обсуждения.

С п и с о к л и т е р а т у р ы

- [1] Анищенко Ю.В. // Письма в ЖЭТФ. 1986. Т. 43. С. 21-23.
- [2] Борисов Н.Д., Гуревич А.В., Милих Г.М. Искусственная ионизированная область в атмосфере. М.: ИЗМИРАН. 1985. 184 с.

Поступило в Редакцию
8 февраля 1989 г.